

· 论 著 ·

# 九肽-1/依克多因经皮共递送纳米脂质体美白修复功效研究

王曦<sup>1,2</sup>, 陈丹<sup>1,2</sup>, 罗丹<sup>1,2</sup>, 陈璇<sup>3</sup>, 马佳月升<sup>4</sup>, 张亮韬<sup>4</sup>, 刘卫<sup>2,3,Δ</sup>

[1. 武汉百思凯瑞生物科技有限公司, 湖北 武汉 430075; 2. 华中科技大学国家纳米药物工程技术研究中心, 湖北 武汉 430075; 3. 华中科技大学生命科学与技术学院, 湖北 武汉 430074; 4. 样美生物科技(北京)有限公司, 北京 100020]

[摘要] 目的 探讨九肽-1/依克多因经皮共递送纳米脂质体(Non/Ect-NLPs)的美白修复功效。

方法 通过细胞活性测试研究 Non/Ect-NLPs 安全性, 观察黑素细胞对纳米脂质体摄取情况, 并比较不同水平 Non/Ect-NLPs 组及游离成分溶液组酪氨酸酶活性、黑色素水平、氧化损伤细胞存活率及人源水通道蛋白-3(AQP3)、丝聚合蛋白(FLG)、紧密连接蛋白 1(Claudin-1)水平。结果 游离成分溶液组和不同水平 Non/Ect-NLPs 组中 HaCaT 细胞活性均在 80% 以上。与游离成分溶液组比较, Non/Ect-NLPs 水平为 250.0、500.0 μg/mL 时, 其对 B16F10 细胞酪氨酸酶活性显著降低( $P < 0.05$ )。与游离成分溶液组比较, Non/Ect-NLPs 水平为 125.0、500.0 μg/mL 时, 其能显著抑制 B16F10 细胞分泌黑色素( $P < 0.05$ )。与模型组比较, Non/Ect-NLPs 水平为 250.0、500.0 μg/mL 时, 可显著提高氧化损伤细胞的存活率( $P < 0.05$ )。与对照组比较, 游离成分溶液组和 Non/Ect-NLPs 组能显著促进 HaCaT 细胞迁移( $P < 0.01$ )。与对照组比较, 游离成分溶液组、Non/Ect-NLPs 组 AQP3、FLG、Claudin-1 水平显著增高( $P < 0.05$ )。结论 Non/Ect-NLPs 作为新型皮肤美白修复功效原料具有良好的应用前景。

[关键词] 九肽-1; 依克多因; 共递送纳米载体; 美白功效

DOI: 10.3969/j.issn.1009-5519.2024.02.004 中图法分类号: TQ460.4

文章编号: 1009-5519(2024)02-0196-05 文献标识码: A

## Study on whitening and repairing efficacy of nonapeptide-1/ectoin nanoliposomes

WANG Xi<sup>1,2</sup>, CHEN Dan<sup>1,2</sup>, LUO Dan<sup>1,2</sup>, CHEN Xuan<sup>3</sup>,  
MA Jiayuesheng<sup>4</sup>, ZHANG Liangtao<sup>4</sup>, LIU Wei<sup>2,3,Δ</sup>

(1. Wuhan Best Carey Biotechnology Co., Ltd., Wuhan, Hubei 430075, China; 2. National Engineering Research Center for Nanomedicine, Huazhong University of Science and Technology, Wuhan, Hubei 430075, China; 3. College of Life Science and Technology, Huazhong University of Science and Technology, Wuhan, Hubei 430074, China; 4. Youngmay Biotech (Beijing) Co., Ltd., Beijing 100020, China)

[Abstract] **Objective** To explore the whitening and repairing effects of nonapeptide-1 / ectoin nanoliposomes(Non/Ect-NLPs). **Methods** The safety of Non/Ect-NLPs was studied by cell viability test, and the uptake of nanoliposomes by melanocytes was observed. Tyrosinase activity, melanin levels, survival rate of oxidative damage cells, and the levels of human aquaporin-3(AQP3), filaggrin(FLG), and tight junction protein-1(Claudin-1) levels were compared between groups with different levels of Non/Ect-NLPs and free component solution groups. **Results** The viability of HaCaT cells in both the free component solution group and the groups with different levels of Non/Ect-NLPs were all above 80%. Compared with the free component solution group, when the levels of Non/Ect-NLPs were 250.0 and 500.0 μg/mL, the tyrosinase activity of B16F10 cells was significantly decreased( $P < 0.05$ ). Compared with the free component solution group, when the levels of Non/Ect-NLPs were 125.0 and 500.0 μg/mL, it could significantly inhibit the secretion of melanin by B16F10 cells( $P < 0.05$ ). Compared with the model group, Non/Ect-NLPs at 250.0 and 500.0 μg/mL significantly increased the survival rate of oxidative damaged cells( $P < 0.05$ ). Compared with the control group, the

free component solution group and the Non/Ect-NLPs group significantly promoted the migration of HaCaT cells ( $P < 0.01$ ). Compared with the control group, the free component solution group and the Non/Ect-NLPs group had significant increases in AQP3, FLG, and Claudin-1 levels ( $P < 0.05$ ). **Conclusion** Non/Ect-NLPs have a good application prospect as a new type of skin whitening and repair efficacy raw material.

**[Key words]** Nonapeptide-1; Ectoin; Co-delivery nanocarriers; Efficacy of whitening

九肽-1 是一种含有 9 个氨基酸的小分子肽,通过竞争性方式与黑色素皮质素受体 1 相结合,阻碍酪氨酸酶活化,进而抑制黑色素的生成<sup>[1]</sup>。依克多因能阻止应激因子损伤细胞,隔离紫外线辐射、变应原、污染物等对皮肤的损害,1.0% 依克多因能有效防止皮肤细胞损伤,皮肤自愈修复速度提升了 2~3 倍<sup>[2-3]</sup>。利用纳米脂质体包载技术,可以改善皮肤功效活性成分的稳定性,促进活性成分进入靶细胞,有效提高活性成分的生物利用率<sup>[4-5]</sup>。本研究探讨了九肽-1/依克多因经皮共递送纳米脂质体(Non/Ect-NLPs)的皮肤美白和修复作用,以期研制具有美白修复功效的护肤品提供理论和技术基础。

## 1 资料与方法

**1.1 主要试剂与细胞** 九肽-1 购自南京莱昂生物科技公司;依克多因购自济南华熙生物科技公司;卵磷脂购自上海太伟药业公司;聚乙二醇-40(PEG-40)氯化蓖麻油购自德国巴斯夫公司;1,3-丙二醇、1,2-己二醇、甘油购自国药集团公司。DMEM 高糖培养基、胎牛血清、青链霉素、胰蛋白酶-EDTA 购自美国 Gibco 公司;L-多巴、酪氨酸、TritonX-100、3%  $H_2O_2$ 、 $\alpha$ -melanocyte stimulating hormone( $\alpha$ -MSH)购自美国 Sigma-Aldrich 公司;Cell Counting Kit-8(CCK-8)、活性氧检测试剂盒购自上海碧云天生物技术公司;人源水通道蛋白-3(AQP3)、丝聚合蛋白(FLG)、紧密连接蛋白 1(Claudin-1)的酶联免疫吸附试验试剂盒购自江苏酶免生物科技公司。人角质形成细胞(HaCaT)、小鼠黑色素瘤细胞(B16F10)购自中国科学院昆明细胞库。

**1.2 主要仪器** SHJ-6A 数显磁力搅拌水浴锅购自常州亿能实验仪器厂;JN-02HC 高压均质机购自安拓思纳米技术(苏州)有限公司;粒径分析仪购自英国 Malvern 公司;超净工作台购自苏州净化设备有限公司;细胞培养箱购自美国 Thermo Fisher 公司;酶标仪购自美国 Perkin Elmer 公司;倒置荧光显微镜购自广州明美光电技术有限公司;FV3000 激光共聚焦显微镜购自日本 Olympus 公司。

## 1.3 方法

**1.3.1 Non/Ect-NLPs 的制备及粒径等测定** 称取处方量卵磷脂、胆固醇、PEG-40 氯化蓖麻油和 1,3-丙

二醇为 A 相,另称取处方量九肽-1、依克多因、1,2-己二醇和甘油等溶于适量超纯水中为 B 相,于 40 °C 水浴混匀,将 A 相和 B 相混合,继续搅拌,高压均质机均质溶液 3 次后,得到 Non/Ect-NLPs。取适量 Non/Ect-NLPs,稀释适当倍数,测定粒径、多分散性指数(PDI)和 Zeta 电位。

**1.3.2 观察细胞摄取行为** 采用异硫氰酸荧光黄(FITC)代替活性成分制备 FITC 标记的纳米脂质体(FITC-NLPs),与游离 FITC 中荧光标记水平相同。将 B16F10 细胞以  $3 \times 10^5$  /mL 的密度接种于共聚焦皿,每皿 2 mL,培养 24 h,弃上清液,加入含游离 FITC、FITC-NLPs(FITC 均为 1  $\mu$ g/mL)的培养基,置于细胞培养箱摄取 4 h,弃去培养基,磷酸盐缓冲液(PBS)清洗 3 次,采用组织固定液固定细胞,在避光环境下,依次用罗丹明 B(RhoB)、4',6-二脒基-2-苯基吡啶(DAPI)溶液(均为 1  $\mu$ g/mL)染色各 15 min,采用激光共聚焦显微镜观察拍照。

**1.3.3 细胞安全性评价** 将  $1.5 \times 10^5$  /mL 的 HaCaT 细胞加入 96 孔板,每孔 100  $\mu$ L,培养 24 h,每孔分别加入 100  $\mu$ L 含有 62.5、125.0、250.0、500.0、1 000.0  $\mu$ g/mL Non/Ect-NLPs(Non/Ect-NLPs 组)及游离成分溶液(游离成分溶液组,与 Non/Ect-NLPs 组中活性成分水平相同)的 DMEM 完全培养基,对照组仅加 100  $\mu$ L DMEM 完全培养基。每组 3 个平行孔,重复 3 次。继续培养 24 h,于 450 nm 波长处测吸光度,计算细胞存活率。

**1.3.4 酪氨酸酶活性测定** 将  $5.0 \times 10^4$  /mL 的 B16F10 细胞加入 24 孔板,每孔 500  $\mu$ L,培养 24 h。对照组仅加入完全培养基,模型组、游离成分溶液组及 Non/Ect-NLPs 组加入 100 nmol/L  $\alpha$ -MSH 制备黑色素高表达细胞模型。Non/Ect-NLPs 组同时加入 125.0、250.0、500.0  $\mu$ g/mL Non/Ect-NLPs,游离成分溶液组与 Non/Ect-NLPs 组中活性成分水平相同,均用 DMEM 完全培养基配制。每组 3 个平行孔,重复 3 次。培养 48 h 后,弃去上清液,每孔加入 1% TritonX-100 的 PBS 200  $\mu$ L 于 -80 °C 冰箱裂解,取细胞裂解液离心,取各孔上清液 100  $\mu$ L,加入 0.1% L-多巴 100  $\mu$ L,37 °C 放置 1 h,于 490 nm 波长处测吸光度,计算酪氨酸酶活性<sup>[6]</sup>。

**1.3.5 黑色素水平测定** 将  $5.0 \times 10^4$ /mL 的 B16F10 细胞加入 6 孔板,每孔 2 mL,培养 24 h。各分组及加样方式同“1.2.4”。每组设 3 个平行孔,重复 3 次。培养 48 h 后,PBS 清洗细胞后,每孔加入含有 10% 二甲基亚砜的 1.0 mmol/L 氢氧化钠溶液 300  $\mu$ L,在 90  $^{\circ}$ C 水浴裂解细胞 3 h,于 405 nm 波长处测各孔吸光度,计算黑色素水平<sup>[6]</sup>。

**1.3.6 细胞抗氧化分析** 将  $1.5 \times 10^5$ /mL 的 HaCaT 细胞加入 96 孔板,每孔 100  $\mu$ L,培养 24 h。各分组及加样方式同“1.2.4”,仅在造细胞氧化损伤模型时,将 100 nmol/L  $\alpha$ -MSH 替换为 0.8 mmol/L  $H_2O_2$ 。每组 3 个平行孔,重复 3 次。继续培养 24 h 后,于 450 nm 波长处测吸光度,计算细胞存活率。

**1.3.7 细胞迁移分析** 将  $5.0 \times 10^5$ /mL 的 HaCaT 细胞加入 6 孔板,每孔 2 mL,培养 24 h。用黄色枪头在细胞生长的中央区域划 1 条线,PBS 清洗细胞 3 次,显微镜拍照观察加样前的划痕宽度。拍照后,对照组加入无血清培养基,其他组分别加入 250.0  $\mu$ g/mL Non/Ect-NLPs 与游离成分溶液的无血清培养基。培养 24 h 后,用显微镜拍照观察加样后的划痕宽

度,计算细胞迁移率,实验重复 3 次<sup>[7]</sup>。

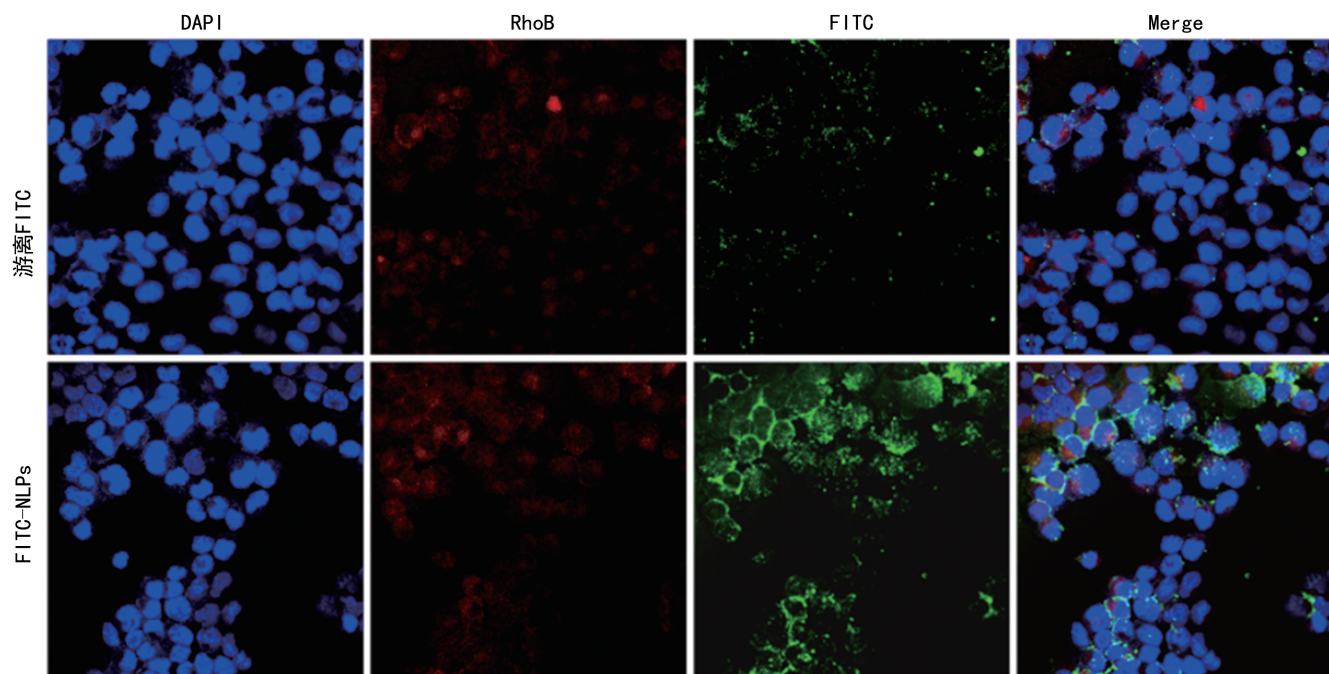
**1.3.8 皮肤修复相关因子检测** 将  $1.0 \times 10^5$ /mL 的 HaCaT 细胞加入 24 孔板,每孔 500  $\mu$ L,培养 24 h。对照组仅加 DMEM 完全培养基,其他组分别加入含有 125.0、250.0、500.0  $\mu$ g/mL Non/Ect-NLPs 与游离成分溶液的 DMEM 完全培养基。每组 3 个复孔,实验重复 3 次。继续培养 48 h,检测上清液中 AQP3、FLG、Claudin-1 水平。

**1.4 统计学处理** 采用 SPSS 20.0 软件进行统计学处理,计量资料以  $\bar{x} \pm s$  表示,组间比较采用单因素方差分析, $P < 0.01$  为差异有统计学意义。

## 2 结 果

**2.1 粒径、PDI 和 Zeta 电位** Non/Ect-NLPs 为淡黄色透明液体,测得其粒径为  $(34.3 \pm 0.1)$  nm, PDI 为  $(0.195 \pm 0.007)$ , Zeta 电位为  $(-31.7 \pm 0.9)$  mV。

**2.2 黑素细胞摄取情况** 孵育相同时间, FITC-NLPs 细胞质中荧光强度明显强于游离 FITC,而游离 FITC 主要聚集于 B16F10 细胞表面。FITC-NLPs 能够被快速摄取进入 B16F10 细胞。见图 1。



注: Merge 是将 DAPI、RhoB、FITC 图片进行组合。

图 1 黑素细胞摄取情况

**2.3 细胞安全性比较** 不同水平 Non/Ect-NLPs 组和游离成分溶液组中 HaCaT 细胞活性均在 80% 以上,无细胞毒性。见图 2。

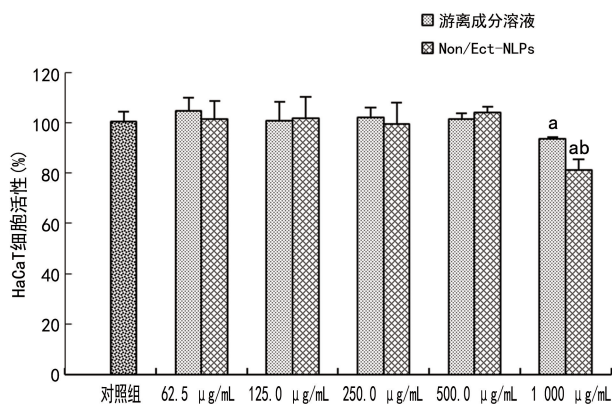
**2.4 酪氨酸酶活性比较** 与游离成分溶液组比较, Non/Ect-NLPs 水平为 250.0、500.0  $\mu$ g/mL 时,其对

B16F10 细胞酪氨酸酶活性显著降低 ( $P < 0.05$ )。Non/Ect-NLPs 抑制黑素细胞酪氨酸酶的能力强于同剂量游离成分。见图 3。

**2.5 黑色素水平比较** 与游离成分溶液组比较, Non/Ect-NLPs 水平为 125.0、500.0  $\mu$ g/mL 时,其能

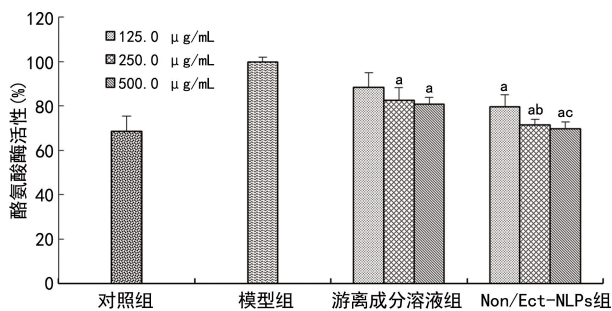
显著抑制 B16F10 细胞分泌黑色素( $P < 0.05$ )。Non/Ect-NLPs 抑制黑素细胞黑色素分泌能力强于同剂量游离成分。见图 4。

**2.6 细胞抗氧化能力比较** 采用 0.8 mmol/L  $H_2O_2$  损伤 HaCaT 细胞后,其存活率为 50.36%,细胞氧化损伤明显。与模型组比较,Non/Ect-NLPs 水平为 250.0、500.0  $\mu\text{g/mL}$  时,可显著提高氧化损伤细胞的存活率( $P < 0.05$ )。与游离成分溶液组比较,Non/Ect-NLPs 水平为 500.0  $\mu\text{g/mL}$  时,可显著提高氧化损伤细胞的存活率( $P < 0.01$ )。Non/Ect-NLPs 的细胞抗氧化功效更为显著。见图 5。



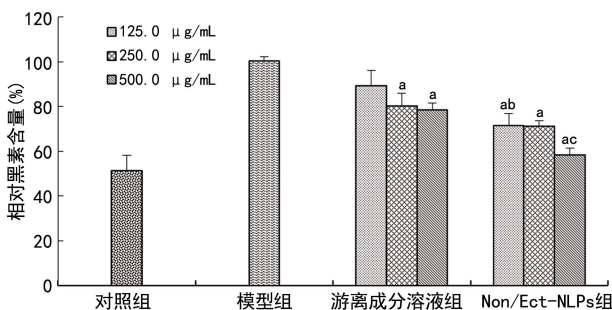
注:与对照组比较,<sup>a</sup> $P < 0.01$ ;与同水平游离成分溶液组比较,<sup>b</sup> $P < 0.01$ ;A~E 组分别为 62.5、125.0、250.0、500.0、1000.0  $\mu\text{g/mL}$  Non/Ect-NLPs 组与相应游离成分溶液组。

图 2 细胞安全性比较



注:与模型组相比,<sup>a</sup> $P < 0.01$ ;与同水平游离成分溶液组相比,<sup>b</sup> $P < 0.05$ ,<sup>c</sup> $P < 0.01$ 。

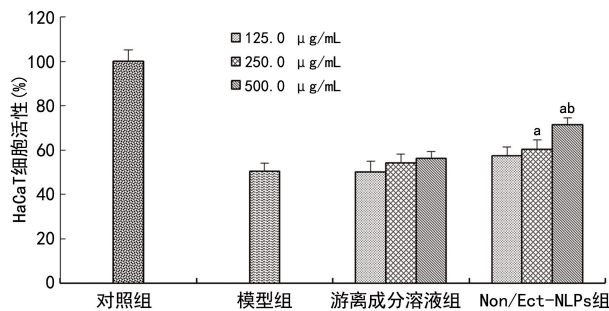
图 3 酪氨酸酶活性比较



注:与模型组相比,<sup>a</sup> $P < 0.01$ ;与同水平游离成分溶液组相比,<sup>b</sup> $P < 0.05$ ,<sup>c</sup> $P < 0.01$ 。

图 4 黑色素水平比较

**2.7 细胞迁移能力比较** 与对照组比较,游离成分溶液组和 Non/Ect-NLPs 组能显著促进 HaCaT 细胞迁移( $P < 0.01$ )。与游离成分溶液组比较,Non/Ect-NLPs 组能显著促进 HaCaT 细胞迁移( $P < 0.01$ )。Non/Ect-NLPs 促进 HaCaT 细胞迁移的能力优于游离成分溶液。见图 6、7。



注:与模型组相比,<sup>a</sup> $P < 0.01$ ;与同水平游离成分溶液组相比,<sup>b</sup> $P < 0.01$ 。

图 5 细胞抗氧化能力比较

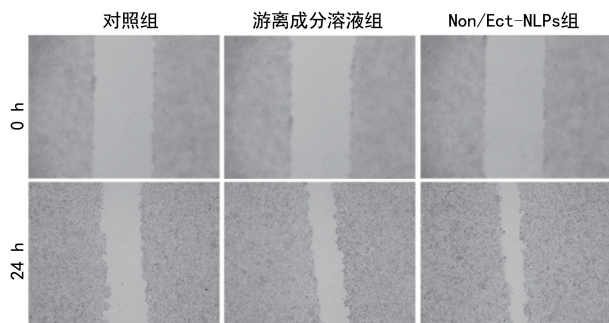
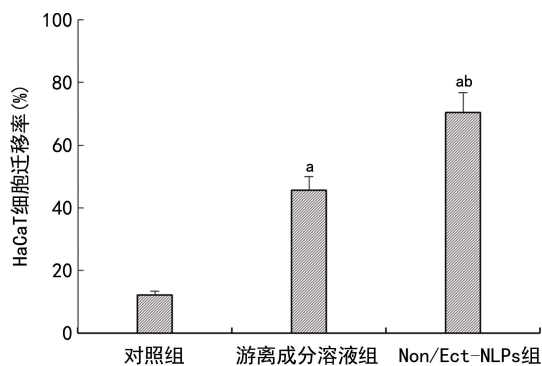


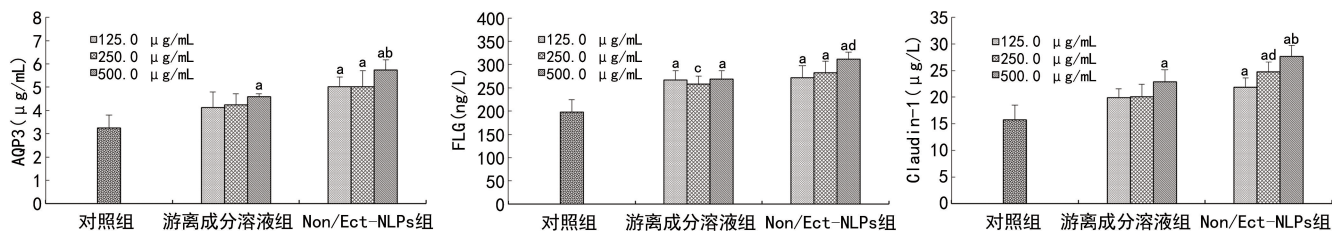
图 6 对 HaCaT 细胞迁移的影响



注:与对照相比,<sup>a</sup> $P < 0.01$ ;与游离成分溶液组相比,<sup>b</sup> $P < 0.01$ 。

图 7 对 HaCaT 细胞迁移率的影响

**2.8 皮肤修复相关因子水平比较** 与对照组比较,游离成分溶液组、Non/Ect-NLPs 组 AQP3、FLG、Claudin-1 水平显著增高( $P < 0.05$ )。与游离成分溶液组比较,500  $\mu\text{g/mL}$  Non/Ect-NLPs 组 AQP3、FLG 水平显著升高( $P < 0.05$ );250.0、500.0  $\mu\text{g/mL}$  Non/Ect-NLPs 组 Claudin-1 水平显著升高( $P < 0.05$ )。Non/Ect-NLPs 较相同水平游离成分溶液具有更好的皮肤保湿修复功效。见图 8。



注:与对照组相比,<sup>a</sup> $P < 0.05$ ,<sup>b</sup> $P < 0.01$ ;与同浓度游离成分溶液组相比,<sup>c</sup> $P < 0.05$ ,<sup>d</sup> $P < 0.01$ 。

图 8 保湿修复相关因子水平比较

### 3 讨 论

目前,功效性化妆品产品大多存在功效成分单一、透皮吸收困难等问题。纳米脂质体作为一种新型给药递送系统,制剂质量稳定,且所载活性成分经包裹后能有效提高成分稳定性。纳米脂质体粒径小,能增强药物活性成分的经皮扩散速率及药物的经皮吸收<sup>[8]</sup>。共输送纳米载体可同时负载多种美白作用机制的功效成分,实现多靶点多效护肤功效成分协同增效<sup>[6]</sup>。采用经皮给药纳米载体技术,将九肽-1 和依克多因共负载于同一纳米脂质体中,解决活性成分极性高、难透皮吸收、难缓释等问题,可实现将美白修复活性成分的皮肤靶向共输送,达到协同增效及缓释作用<sup>[8-9]</sup>。在本团队已完成的工作基础上<sup>[7,10]</sup>,本研究对 Non/Ect-NLPs 的皮肤美白和修复作用进行了探索。

本文构建的 Non/Ect-NLPs 平均粒径为(34.3 ± 0.1) nm, PDI 为(0.195 ± 0.007), Zeta 电位为(-31.7 ± 0.9) mV。Non/Ect-NLPs 能促进 B16F10 细胞对活性成分的摄取,抑制 B16F10 细胞的酪氨酸酶活性和黑色素水平,缓解皮肤细胞氧化损伤,从而直接减少黑色素的产生<sup>[11-12]</sup>。Non/Ect-NLPs 可促进角质形成细胞迁移,提高皮肤修复因子 AQP3、FLG、Claudin-1 的分泌量,提高皮肤保湿修复功能。

综上所述,Non/Ect-NLPs 具有美白皮肤和保湿修复作用,实现了不同机制活性成分的协同增效作用,在美白修复护肤品中有较好应用前景。

### 参考文献

[1] 苏晨灿,张忠旗,赵金礼,等. 九肽-1 纯化方法研究[J]. 山东工业技术,2018(2):200.  
 [2] 王玉玲,任姝静,吴越,等. 基于透明质酸、依克多因组合物的抗光老化作用研究[J]. 日用化学科学,2022,45(7):51-56.  
 [3] BUENGER J, DRILLER H. Ectoin: An effective natural substance to prevent UVA-induced premature photoaging [J]. Skin Pharmacol

Physiol,2004,17(5):232-237.  
 [4] 李霞,田仁德,许琦,等. 神经酰胺 III B 纳米脂质体的制备及功效评价[J]. 日用化学工业,2016,46(9):514-518.  
 [5] GUPTA V, MOHAPATRA S, MISHRA H, et al. Nanotechnology in cosmetics and cosmeceuticals: A review of latest advancements [J]. Gels,2022,8(3):173.  
 [6] WEI T, CHEN D, MEI H, et al. Cationic nanoliposomes efficiently delivering phenylethyl resorcinol produce enhanced skin lightening effect [J]. Nano Life,2020,10(4):2040009.  
 [7] TIAN L W, LUO D, CHEN D, et al. Co-delivery of bioactive peptides by nanoliposomes for promotion of hair growth[J]. J Drug Deliv Sci Technol,2022,72:356.  
 [8] 何梦蝶,陈家铃,罗丹,等. 白梅花油/白藜芦醇纳米乳黑素细胞摄取及美白功效研究[J]. 中国化妆品,2022(12):86-91.  
 [9] 刘卫,冯年平. 经皮给药纳米技术[M]. 北京:中国医药科技出版社,2020:152.  
 [10] ZHOU H, LUO D, CHEN D, et al. Current advances of nanocarrier technology-based active cosmetic ingredients for beauty applications [J]. Clin Cosmet Investig Dermatol,2021,14:867-887.  
 [11] KIM B S, NA Y G, CHOI J H, et al. The improvement of skin whitening of phenylethyl resorcinol by nanostructured lipid carriers[J]. Nanomaterials(Basel),2017,7(9):241-257.  
 [12] 周婷,李燕,何黎. 皮肤美白机制的研究进展[J]. 皮肤病与性病,2017,39(3):168-172.

(收稿日期:2023-05-06 修回日期:2023-08-03)